

## НЕЙТРОННЫЙ ФОКУС В БЕРИЛЛИИ В ПОЛЕ СИНХРОТРОННОГО ИЗЛУЧЕНИЯ

И.П. Еремеев

Показано, что в поле синхротронного излучения можно генерировать импульсные потоки фотонейтронов рекордной пространственно-временной и спектральной плотности. Отмечены возможные новые эксперименты.

В последние годы развитие ядерной физики и физики твердого тела поставило ряд задач, требующих существенного совершенствования параметров импульсных потоков нейтронов (например, проблема создания  $\gamma$ -лазера). Известные способы позволяют получать потоки тепловых и резонансных нейтронов  $\lesssim (2 \div 3) \cdot 10^{16} \text{ н/см}^2 \cdot \text{сек}$  при плотности генерации  $\lesssim 10^{16} \text{ н/см}^3 \cdot \text{сек}$  и длительности импульса  $\gtrsim 10^{-6} \text{ сек}$  [1]. В значительной мере этот предел обусловлен большой экзотермичностью используемых реакций и высокой средней энергией спектра, определяющей потери нейтронов при замедлении величиной  $\sim 0,02 \div 0,1$ .

В настоящей работе предлагается принцип генерации нейтронов, лишенный этих недостатков. Он основан на реакции фоторождения в  $\text{Be}^9$  в поле жесткого синхротронного излучения (СИ). Такое магнито-

тормозное излучение с энергией несколько сот кэв в максимуме спектра формируется током ультрарелятивистских электронов в магнитном поле  $H$  в несколько десятков кэ. Принципиальные отличия и преимущества метода обусловлены совокупностью следующих свойств: 1) высокой яркостью СИ, обеспечивающей большую плотность генерации нейтронов; 2) аномально низким порогом реакции ( $\gamma, n$ ) в  ${}^4\text{Be}^9$  и резким изменением сечения вблизи порога  $E_o = 1,665 \text{ Мэв}$ , что позволяет получить мягкий спектр нейтронов *без замедления* и исключить указанные потери в интенсивности; 3) импульсным характером СИ, позволяющим генерировать ультракороткие импульсы нейтронов с длительностью  $\sim 10^{-9} \pm 10^{-10} \text{ сек}$ ; 4) малый атомный номер Be и низкая энергия используемых  $\gamma$ -квантов обуславливают минимальные радиационные потери в мишени на 1 рожденный нейтрон. Поскольку расходимость и площадь источника СИ малы ( $\sim 10^{-4} \div 10^{-5} \text{ рад и } \sim 10^{-2} \text{ см}^2$ ), эффективный объем области генерации не превышает  $1 \text{ см}^3$ , а ее радиус много меньше длины пробега  $\gamma$ -квантов с энергией  $\sim E_o$ . Такой аксиально-симметричный источник удобно было бы называть "нейтронным фокусом" (НФ).

Спектральная плотность НФ определяется выражениями

$$N(E_n) \approx N_o \frac{A}{A-1} \xi(E_\gamma, E_c, E_o) \frac{1}{E_o} \left( 1 + \frac{A}{A-1} \frac{E_n}{E_o} \right)^{-1}, \quad (1)$$

$$\xi(E_\gamma, E_c, E_o) = \eta \left( \frac{E_\gamma}{E_c} \right) \frac{\Sigma_{\gamma n}}{\mu_\gamma} (1 - e^{-\mu_\gamma x_o}), \quad (2)$$

где  $N_o \gamma$  — интегральная интенсивность СИ,  $A$  — масса ядра мишени,  $\Sigma_{\gamma n}$  — макроскопическое сечение реакции ( $\gamma, n$ ),  $\mu_\gamma$  — коэффициент ослабления  $\gamma$ -квантов в мишени длиной  $X_o$  в направлении пучка СИ,  $\xi(E_\gamma, E_c, E_o)$  — спектральная функция выхода нейтронов,  $\eta(E_\gamma/E_c)$  — спектральная функция СИ, имеющая в области  $E_\gamma > E_c$  вид  $(E_\gamma/E_c)^{1/2} \times \exp(-E_\gamma/E_c)$ ,  $E_c \sim E_B^2 H$  — параметр, определяющий положение максимума в спектре СИ. Выход нейтронов определяется  $\Sigma_{\gamma n}/\mu_\gamma$  и для  ${}^4\text{Be}^9$  составляет  $\sim 2,5 \cdot 10^{-3} \text{ н/кэв}$  вблизи порога. Вид функции  $\eta$  и сечения  $\sigma_{\gamma n}$  Be показан на рис. 1, спектр фотонейтронов — на рис. 2. Для расчета использовались данные прецезионных измерений  $\sigma_{\gamma n}$  [2]. Спектр отличается большой плотностью нейтронов в резонансной области и низкими значениями средней и граничной энергии. Поведение спектра в тепловой области можно проследить лишь качественно из-за отсутствия данных по  $\sigma_{\gamma n}$  ниже  $E_\gamma - E_o = 0,5 \text{ кэв}$ . Экстраполяции результатов [2] к нулю показывает, однако, что и в тепловой области сохраняется значительная плотность нейтронов в силу отдачи ядра при поглощении  $\gamma$ -кванта и компенсации падения  $\sigma_{\gamma n}$  экспоненциальным ростом  $\eta$ . Там же показаны спектры, характерные для реакции ( $\beta \rightarrow \gamma, n$ ).

Интегральные характеристики НФ вычислены для СИ, формируемого в стационарном или импульсном пространственно-периодическом поле протяженностью  $\sim 5 \text{ м}$  электронным пучком с параметрами, характерными для накопителя ВЭПП-4 ИЯИ СО АН СССР [3]. Расчет выполнен для частоты следования импульсов СИ  $\nu \approx 10^6 \text{ Гц}$  и для  $\nu \approx 20 \text{ Гц}$ , достижаемой выводом электронов в канал с импульсным полем  $\sim 250 \text{ кэ}$ . Ре-

зультаты расчета приведены в таблице, где сравниваются с данными для источника нейтронов на реакции ( $\beta \rightarrow \gamma, n$ ) в области энергий  $E_n = 10 \div 3 \cdot 10^5$  эв (линейный ускоритель электронов ИАЭ им. И.В.Курчатова [4]). Параметр качества определен как отношение средней интенсивности к квадрату длительности импульса.

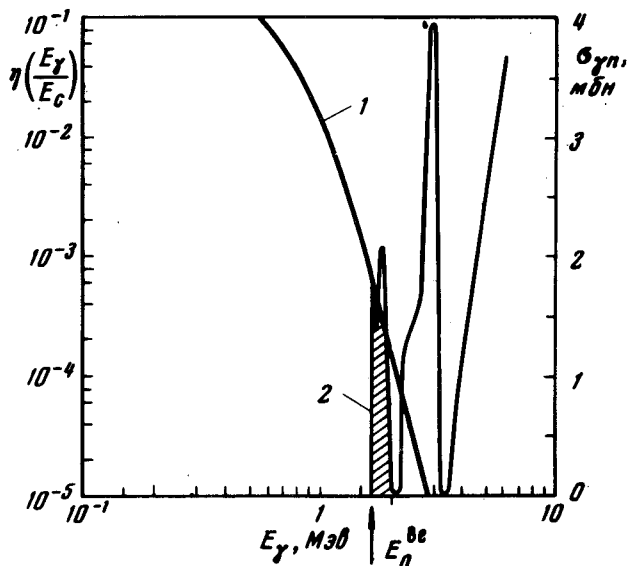


Рис. 1. Спектральная функция СИ, формируемого электронами с  $E_B = 7 \text{ ГэВ}$  в поле 60 кэ (1) и сечение ( $\gamma, n$ ) в  $^{4}\text{Be}$  вблизи порога (2)

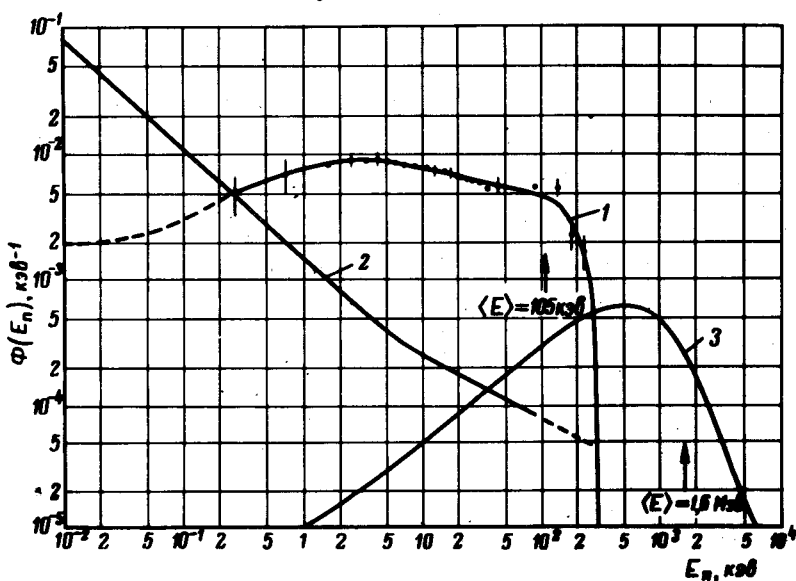


Рис. 2. Спектр НФ (1), спектры нейтронов фоторождения в  $\text{U}$  (3) и замедления в  $\text{H}_2\text{O}$  (2), нормированные на I. Указаны ошибки измерений  $\sigma_{y_n} \text{ } ^4\text{Be}^9$  и средние энергии спектров рождения

Из приведенных данных очевидна перспективность НФ. Так, уже при параметрах ВЭПП-4 по плотности генерации и потоку НФ сопоставим с лучшим из проектируемых импульсных источников — сильноточным протонным синхротроном на 800 МэВ Аргонской Национальной лаборатории США (проект 1985 г.) [1]. При увеличении поля и энергии

электронов "яркость" НФ быстро растет за счет функции  $\eta$  и возрастания заштрихованной площади под кривой  $\sigma_{\gamma n}$  на рис. 1. При реальном повышении  $E_\beta$  до  $15 - 20 \text{ ГэВ}$  [3] средние данные таблицы следует умножить на коэффициент  $\sim 5 \cdot 10^3$ , а импульсные — на  $\sim 2 \cdot 10^4$ . При этом квазистационарный поток нейтронов достигает современного рекорда (реакторы HFR), а импульсный  $\sim 10^{20} \text{ н/см}^2 \text{ сек}$ . При использовании импульсного поля  $\sim 250 \text{ кэ}$  последний можно получить без увеличения  $E_\beta$ .

Источник	НФ, ВЭПП-4, Be ( $\gamma, n$ ), $E_\beta = 7 \text{ ГэВ}$		ЛЭУ, U( $\beta \rightarrow \gamma, n$ ), $\nu = 900 \text{ эи}$ , $H_2O = \text{замедл.}$
	$\nu = 10^6 \text{ эи}$ , $< H > = 60 \text{ кэ}$	$\nu = 20 \text{ эи}$ , $H \approx 250 \text{ кэ}$	
Параметры			
Импульсные	Длит. имп., сек	$10^{-10}$	$10^{-10}$
	Интенс., н/сек	$3 \cdot 10^{16}$	$3,5 \cdot 10^{20}$
	Поток, н/ $\text{см}^2 \cdot \text{сек}$	$2,5 \cdot 10^{15}$	$3 \cdot 10^{19}$
	Пл. генер., н/ $\text{см}^3 \cdot \text{сек}$	$1 \cdot 10^{17}$	$1 \cdot 10^{21}$
Средние	Интенс., н/сек	$3 \cdot 10^{12}$	$2 \cdot 10^{12}$
	Поток, н/ $\text{см}^2 \cdot \text{сек}$	$2,5 \cdot 10^{11}$	$1,5 \cdot 10^{11}$
	Пл. генер., н/ $\text{см}^3 \cdot \text{сек}$	$1 \cdot 10^{13}$	$6 \cdot 10^{12}$
	Мощн. в миш., квт	0,3 <sup>1)</sup>	0,2 <sup>1)</sup>
	Качество, н/ $\text{сек}^2$	$3 \cdot 10^{32}$	$2 \cdot 10^{32}$
	Эфф. объем ген., см <sup>3</sup>	0,3	0,3
	Рад. потери в миш., МэВ/н	450	450
			2 $\cdot 10^{26}$
			785 <sup>2)</sup>
			1250 <sup>3)</sup>
			13000 <sup>4)</sup>

<sup>1)</sup> С учетом фильтрации СИ ниже  $E_0$ .

<sup>2)</sup> Объем замедлителя, толщина 3 см;

<sup>3)</sup> На нейtron, рожденный в мишени,

<sup>4)</sup> На нейtron, замедлившийся до энергии  $10 \div 3 \cdot 10^5 \text{ эв}$ .

Приведенные параметры НФ могут оказаться достаточными для изучения  $n - n$ ,  $\beta - n$  и  $\gamma - n$ -взаимодействий. Свойства НФ — большой импульсный поток при ультракороткой длительности, характерный вид спектра с максимумом в резонансной области и минимальные комптоновские потери в Be, по-видимому, адекватны условиям осуществления индуцированного когерентного ядерного  $\gamma$ -излучения [5]. НФ позволяет изучать с этой целью пространственные, энергетические и, главное, временные параметры когерентных процессов при резонансном поглощении и рассеянии нейтронов в кристаллах. Не исключено, что в таких экспериментах может быть обнаружено явление нейтронной изомерии ядер.

Автор признателен В.М.Галицкому, И.И.Гуревичу, Ю.М.Кагану,  
В.И.Мостовому, В.В.Скляревскому и Н.А.Черноплекову за интерес к  
работе и полезное обсуждение.

Поступила в редакцию  
5 ноября 1977 г.

### Литература

- [1] IEEE Trans. Nucl. Sci., 24, 981, 989, 1040, 1977.
  - [2] B.L. Berman. R.L.Van Hemert, C.D.Bowman. Phys. Rev., 163, 958, 1967.
  - [3] Г.Н.Кулипанов, А.Н.Скринский, УФН, 122, 369, 1977.
  - [4] М.И.Певзнер, В.Ф.Герасимов, В.Ф.Лепников, Н.А.Черноплеков. Препринт  
ИАЭ-2122, М., 1977..
  - [5] В.И.Гольданский, Ю.Каган. ЖЭТФ, 64, 90, 1973.
-